

(株)神戸製鋼所 正 中 西 宏  
同 同 波 田 勝 夫

1. まえがき 本報では、Hybrid Stress Model (Assumed Stress Hybrid FEM)<sup>1)~3)</sup> による連続体の弾塑性解析法について考察し、2次元の場合についてこのモデルによる解析の実用性および解の精度などを検討する。

FEMによる弾塑性解析については、これまでに多くの研究がなされており、とくに変位法に基づく解析手法はすでに確立された感がある。一方、Pianによって提示されたHybrid Stress Modelに関するでは、材料非線形問題の解析手法等についてまだ明確でない点があるようと思われる。その一つは、塑性域でのComplementary energyの評価であり、またその評価の際に弾塑性応力ひずみマトリックスの逆行行列を必要とするが、この応力ひずみマトリックスが常に特異にならないという保証がないという点である。

そこで本文では、①要素内の各応力評価点における弾塑性応力ひずみマトリックスの平均として、その要素の弾塑性応力ひずみマトリックス(要素内で一定)を算定する。②弾塑性応力ひずみマトリックスの逆行行列を求めるごとに並行して、要素境界の変位場の設定を容易にするため、まず要素内のひずみ場を考え、これに弾塑性応力ひずみマトリックスを乗じて後の応力場を設定する。しかも後に、要素内におけるつり合条件を満たすような応力場を修正する。

これらの①、②より塑性域でのComplementary energyを評価し、荷重増分法に基づいて弾塑性解析を行なう。計算例として中央に切り欠きを有する板の引張り問題を取りあげ、Hybrid Stress Modelに対する上記のような弾塑性解析の解の精度および実用性等を検討する。

2. 弹塑性要素剛性行列 Pianは文献3)で、初期たわみ法に基づき、塑性域での剛性行列をそのまま用いた弾塑性解析を行なっている。しかしこの方では、塑性域の拡大とともにつり合状態を求めるための反復が多くなり、計算の効率が著しく阻害されるような場合も生じてくる。そこで本文では、Hybrid Stress Modelに関する弾塑性要素剛性行列を以下のように求め、適当な荷重ステップごとに剛性行列を作り直して荷重増分法を適用する。

さて、前述のように要素内の応力場を  $\mathbf{D} = D_{ep}\mathbf{S}\mathbf{Q}$  の形で表わす(物体力を考えない)。 $D_{ep}$  は  $3 \times 3$  の弾塑性応力ひずみマトリックス、 $\mathbf{S}$  は  $3 \times N$  ( $N$  は応力の未定常数の数)の行列で、座標の関数である。 $\mathbf{Q}$  は  $N \times 1$  の未定常数のベクトルである。このような応力場では、要素内の各点(応力の評価点)で  $D_{ep}$  を変えて剛性行列を組むことはできない。なぜなら、要素内のつり合条件を満たすことができなくなるからである。このため、 $D_{ep}$  を次式で近似する。 $D_{ep} = \sum W_i D_{ep}^i, \sum W_i = 1$  (1)

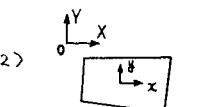
ここで、 $D_{ep}$  および  $W_i$  はたわみの評価点における弾塑性応力ひずみマトリックスおよび重み係数である。

つぎに、 $\mathbf{S}$  および  $\mathbf{Q}$  について述べる。ここでは要素内の変位と座標に関して完全1次、2次および3次形式として、これよります要素内のそれらのひずみを求める。つぎにそれらのひずみに  $D_{ep}$  を乗じて後の応力場を設定する。しかも後に要素内のつり合条件より、それらの応力場を修正する。このようにして求めた三種の応力場に対する  $\mathbf{S}$  および  $\mathbf{Q}$  をそれぞれ  $\mathbf{S}_I, \mathbf{S}_{II}, \mathbf{S}_{III}$  および  $\mathbf{Q}_I, \mathbf{Q}_{II}, \mathbf{Q}_{III}$  と表わす。

$$\mathbf{S}_I = \begin{bmatrix} 1 & 0 & 0 \\ 0 & 1 & 0 \\ 0 & 0 & 1 \end{bmatrix} \quad \mathbf{Q}_I = [a_1, a_2, a_3]^T$$

$$\mathbf{S}_{II} = \begin{bmatrix} 1 & x & y & 0 & 0 & 0 & 0 \\ 0 & 0 & 0 & 1 & x & y & 0 \\ 0 & 0 & x & 0 & y & 0 & 1 \end{bmatrix} - \begin{bmatrix} 0 & 0 \\ 0 & 0 \\ x & y \end{bmatrix} \begin{bmatrix} d_{13} & d_{23} \\ d_{13} & d_{23} \end{bmatrix}^{-1} \begin{bmatrix} 0 & d_{11} & d_{11}+d_{13} & 0 & d_{23}+d_{32} & d_{22} & 0 \\ 0 & d_{11} & d_{11}+d_{13} & 0 & d_{22}+d_{32} & d_{32} & 0 \end{bmatrix} \quad \mathbf{Q}_{II} = [a_1, a_2, \dots, a_7]^T \quad (2)$$

$$\mathbf{S}_{III} = \begin{bmatrix} 1 & x & y & x^2 & xy & y^2 & 0 & 0 & 0 & 0 & 0 & 0 \\ 0 & 0 & 0 & 0 & 1 & x & y & x^2 & xy & x^2 & 0 \\ 0 & 0 & 0 & \frac{x^2}{2} & 2xy & \frac{y^2}{2} & 0 & 0 & 0 & 0 & 1 \end{bmatrix} - \begin{bmatrix} x^2 & 0 & 0 & 0 & 0 & 0 \\ 0 & y^2 & 0 & 0 & 0 & 0 \\ 0 & 0 & x^2 & y^2 & 0 & 0 \end{bmatrix} C_1^{-1} C_2 \quad \mathbf{Q}_{III} = [a_1, a_2, \dots, a_{11}]^T \quad (3)$$



X = X - Xg  
Y = Y - Yg  
(x\_g, y\_g): 要素重心

図1 座標系

$$C_1 = \begin{pmatrix} 0 & 0 & d_{13} & d_{33} & 0 & 0 \\ 2d_{11} & 0 & 0 & 0 & 2d_{33} & 0 \\ 0 & 2d_{32} & 0 & 0 & 0 & 2d_{33} \\ 0 & 0 & d_{33} & d_{33} & 0 & 0 \\ 2d_{31} & 0 & 0 & 0 & 2d_{33} & 0 \\ 0 & 2d_{22} & 0 & 0 & 0 & 2d_{33} \end{pmatrix}, \quad d_{ij} : \text{Dep の } ij \text{ 要素}$$

$$C_2 = \begin{pmatrix} 0 & d_{11} & d_{13}+d_{33} & 0 & 0 & d_{32}+d_{33} & d_{32} & 0 & 0 \\ 0 & 0 & 0 & d_{31}+d_{13} & 2d_{33} & 0 & 0 & d_{32} & 2d_{12}+2d_{33} \\ 0 & 0 & 0 & d_{11} & 2d_{12}+2d_{33} & 0 & 0 & d_{32}+d_{33} & 2d_{12} \\ 0 & d_{31} & d_{31}+d_{33} & 0 & 0 & 0 & d_{32}+d_{33} & d_{32} & 0 \\ 0 & 0 & 0 & d_{31}+d_{33} & 2d_{33} & 0 & 0 & d_{32} & 2d_{12}+2d_{33} \\ 0 & 0 & 0 & d_{31} & 2d_{12}+2d_{33} & 0 & 0 & d_{32}+d_{33} & 2d_{33} \end{pmatrix}$$

これらの応力場を用いると、要素剛性行列は

$$K = G^T H^{-1} G \quad (5)$$

$$H = \int \int \int \text{Dep} S dA, \quad G = \int \int \text{Dep} L^T N ds, \quad L = \begin{pmatrix} 1 & 0 & m \\ 0 & m & 1 \end{pmatrix}$$

で与えられる。ここで、 $N$  は  $2 \times N_f$  ( $N_f$  は要素を構成する節点の数) の行列で境界変位の補間関数。 $l$  および  $m$  は境界の外向き法線の方向余弦である。なお、要素の各辺が直線であれば、式(5)におけるすべての積分を解析的に実施することができます。

3. 構造解析 本文では荷重増分の各ステップごとに剛性を組み直す。また各荷重ステップにおけるり合状態の算定には初期応力法を用いる。応力の評価は、

$$\bar{U}^i = \text{Dep} S^T H^{-1} G \bar{U} \quad \bar{U} : 2N_f \times 1 \text{ の要素の節点変位ベクトル} \quad (6)$$

となる。ここで、 $\bar{S}^i$  は評価点の座標値をもとに埋め込んだものである。この応力の評価点には、Gauss の積分点とともに考えられるが、式(5)における積分と解析的に実施する場合には要素の境界上の各点にともなってください。後者の場合には、式(1)の重み係数として、 $w_i = L_i / \int_s ds$  ( $L_i$  は左右の評価点間の周長の  $1/2$ ) とすることができる。不つり合の算定ではトラクションに基づくことができる。

4. 計算例 図2に示すような引張荷重を受ける中央切り欠きを有する板の構造解析を行なう。ヤング係数  $2.1 \times 10^5 \text{ kg/mm}^2$ 、ポアソン比  $0.3$ 、降伏応力  $65 \text{ kg/mm}^2$  とし、ひずみ硬化はないものとして Mises の降伏条件および平面応力の仮定の下に計算する。ここでは、二つの計算を行なう。一つは、式(3)の応力場IIを用い図3モデル1(6節点要素)によるもの、いま一つは、式(4)の応力場IIIを用い、図3モデル2(8節点要素)によるものである。図4に、モデル1の節点68におけるX印のY方向変位を示す。図中のX印はモデル2の構造をMARCにより計算したものである。三者はほぼ一致していると言える。図5には、切り欠き正方形面における応力分布を示す(荷重  $19.1 \text{ kg/mm}$ )。ここでは、要素の境界で応力を評価して、切り欠き面に沿ってそのすべての応力を示した。図より要素の境界において、モデル1および2とも応力が不連続となっており、応力場を高次にとったものはどの応力の不連続性が改善されていないことがわかる。

5. まとめ Hybrid Stress Model による2次元連続体の構造解析について一つの手法を提案し、若干の試算を行なう。解の精度や所要計算時間などの点で、とくに問題はなかったようである。

1) 鶴澤:「弹性力学の変分原理概論」、日本鋼構造学会編

5) 三村、白鳥、座古、坂口:「有限要素法」、英和社編

J. Mech., 1965

2) T. H. H. Pian: "Element Stiffness-Matrices for Boundary Compatibility and for Prescribed Boundary Stiffness", Proc. of Conf. on Newer Methods in Str.

3) P. L. Spalinger and T. H. H. Pian: "Hybrid-Stress Models for Elastic-Plastic Analysis by the Initial-Stress Approach", Int. J. for Numerical Methods in Engineering, Vol. 14, 1979

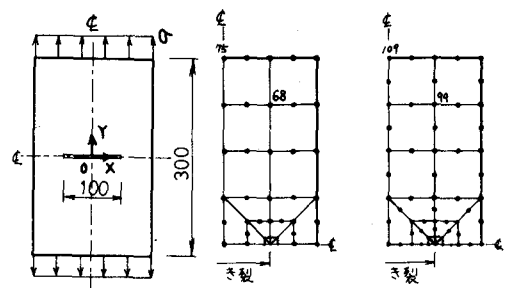


図2 解析モデル(板厚1mm)(応力場II)

図3 要素分割

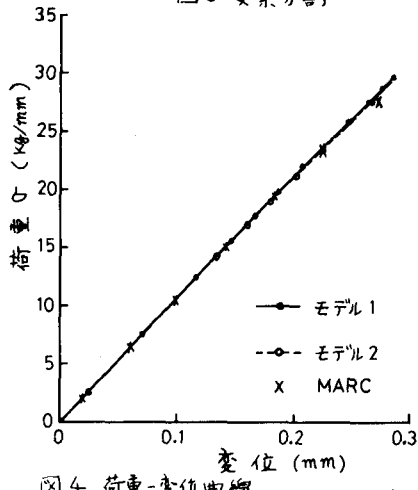


図4 荷重-変位曲線

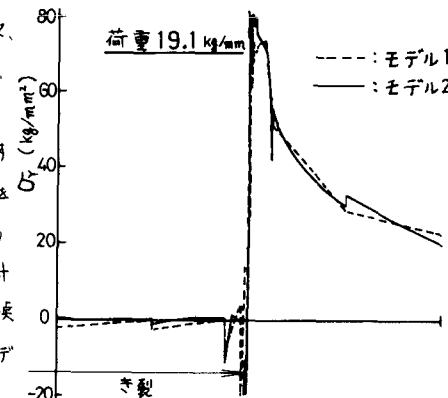


図5 切り欠きを含む面における応力分布